ENVIRONMENTAL SCIENCE

第44卷 第5期 2023年5月15日

目 次

```
COVID-19 管控前后不同污染阶段 PM<sub>2.5</sub>中二次无机离子变化特征 ·········· 姜楠,郝雪新,郝祺,魏云飞,张瑜,吕政卿,张瑞芹(2430)
基于在线观测的太原市冬季 PM<sub>2.5</sub>中金属元素污染水平及来源解析 ……… 崔阳,郭利利,李宏艳,李永麒,李滨,何秋生,王新明(2441)
青藏高原东缘黑碳气溶胶变化特征及其来源 ························王红磊,刘思晗,赵天良,卢文,夏俊荣,施双双(2450)
湛江市夏季大气挥发性有机物污染特征及来源解析 ……… 庞晓蝶,高博,陈来国,刘明,陆海涛,王硕,赵伟,梁小明,郭送军(2461)
2021 年夏季新乡市城区臭氧超标日污染特征及敏感性 ······· 侯墨, 蒋小梅, 赵文鹏, 马琳, 黄皓旻, 范丽雅, 叶代启 (2472)
天津市空气污染的健康影响分析 ………………… 华琨,罗忠伟,贾斌,薛倩倩,李亚菲,肖致美,吴建会,张裕芬,冯银厂(2492)
2002~2020年中国河流环境质量演变及驱动因子分析 …… 杨传玺,薛岩,高畅,万孜恒,王小宁,刘永林,刘琳,刘长青,王炜亮(2502)
1990~2020 年黄河流域典型生态区生态环境质量时空格局及驱动力分析 …………… 王芳,李文慧,林妍敏,南雄雄,胡志瑞(2518)
长江上游小型水库枯水期水质对景观组成、配置和水库特征的响应 …… 钟泳林、冉娇娇、文雯、张名瑶、吕明权、吴胜军(2528)
宁夏人黄排水沟中典型内分泌干扰物的污染特征与风险评价 ……………… 李凌云,高礼,郑兰香,李富娟,陶红,马兰(2539)
微塑料及金属在黄浦江地表水环境的赋存特征及与金属抗性基因的相关性分析……………    陆嘉玮,徐晨烨,胡纯,刘树仁,李方(2551)
饮用水处埋过程中全氟化合物的分布、转化及去同 钟婷婷,林涛,刘威(2613)镍铁氧体@活性炭复合材料去除六价铬的表征、性能及机制 张华,李荣华,陈金雄,曾鸿鹄,黄海艺,Asfandyar Shahab(2622)纳米核壳 Co@ NC 催化剂活化过氧乙酸降解磺胺甲噻唑 郑婷露,张龙龙,陈家斌,张亚雷,周雪飞(2635)富里酸改性 FeMnNi-LDH 复合材料对水中砷镉的吸附性能与机制 何雅馨,柯心怡,魏世强,蒋珍茂(2646)富含钙/铝的污泥生物炭复合材料对水溶液中磷酸盐的吸附机制 欧阳铸,曹露,王炳乾,丁丽,黄海明,祝采莹,邝晓彤(2661)污泥生物炭硼掺杂改性及其对水中1,2-二氯乙烷吸附行为和机制 周佳伟,施维林,许伟,魏晨军,吴建生,孟宪荣(2671) 清林生态系统对大气氮沉降降低的响应 谢丹妮,仰东星,段雷(2681)
黄土旱塬 24 a 不同秸秆还田土壤碳、氮、磷和胞外酶计量特征 ············ 姚志霞,周怀平,解文艳,杨振兴,陈浩宁,文永莉,程曼 (2746) 黄土高原子午岭植被自然恢复下的固碳特征 ······ 许小明,张晓萍,王浩嘉,贺洁,王妙倩,易海杰,薛帆,邹亚东,田起隆,何亮 (2756)
短期氮添加对黄土高原人工刺槐林土壤有机碳组分的影响 … 简俊楠,刘伟超,朱玉帆,李佳欣,温宇豪,刘付和,任成杰,韩新辉(2767)
基于乡镇尺度的地质高背景区耕地土壤重金属来源分析与风险评价 ......
广东海丰湿地生态恢复进程中不同生境的土壤微生物特征分析 ············· 马姣娇,高常军,易小青,吴琰,李佳鸿,曾向武,蔡坚(2908)
五台山不同退化程度亚高山草甸土壤微生物群落分类与功能多样性特征 ·············
长期生草栽培对山核桃人工林土壤真菌群落和酶活性的影响 …………… 胡颖槟、梁辰飞、金锦、王潇璇、叶子豪、吴家森(2945)
高密度聚乙烯微塑料胁迫对棉花生长、枯萎病发生和根际细菌群落的影响 ··· 张浩,孙洁,杨慧颖,董联政,滑紫微,韩辉,陈兆进(2955)
菌藻复合体系氮代谢性能及菌群特征 赵志瑞,吴海淼,马超,李书缘,李晴,袁凯倪,孟祥源,刘硕,方晓峰(2965)中国碳排放及影响因素的市域尺度分析 是张明显常的一块尺度分析 是张明显常的一块尺度分析 是健生,晋雪茹,王晗,冯喆,张丹妮,李雪尘(2974)碳交易政策如何影响工业碳生产率:来自中国省级数据的准自然实验 房设施 是健生,晋雪茹,王晗,冯喆,张丹妮,李雪尘(2983)
垃圾分类对碳减排的影响分析:以青岛市为例 …………… 陈纪宏, 卞荣星, 张听雪, 高晨琦, 孙英杰, 李卫华, 张国栋, 占美丽 (2995)
《环境科学》征订启事(2480) 《环境科学》征稿简则(2538) 信息(2766, 2798, 2927)
```



Environmental Science

京津冀城市群冬季二次 PM_{2.5} 的时空分布特征

姚青^{1,2},杨旭^{1,2},唐颖潇^{1,2},樊文雁^{1,2},蔡子颖^{1,2},韩素芹^{1,2}

(1. 天津市环境气象中心, 天津 300074; 2. 中国气象局-南开大学大气环境与健康研究联合实验室, 天津 300074)

摘要:二次组分是造成京津冀城市群冬季 $PM_{2.5}$ 污染的重要因素.采用 CO 示踪法,估算 2017 ~ 2021 年冬季京津冀城市群二次 $PM_{2.5}$ 浓度,并分析其时空分布特征,探讨区域二次 $PM_{2.5}$ 的影响因素.结果表明,2017 ~ 2021 年冬季京津冀区域 $PM_{2.5}$ 浓度下降趋势明显,河北中南部一次 $PM_{2.5}$ 下降幅度最大,二次 $PM_{2.5}$ 浓度年际波动平稳,北京和天津二次 $PM_{2.5}$ 占比明显高于其他城市.随着污染程度加剧,一次 $PM_{2.5}$ 和二次 $PM_{2.5}$ 质量浓度均有不同程度的增加,二次 $PM_{2.5}$ 占比呈显著增大趋势.与直接测量结果相比,CO 示踪法获得的结果偏低,与冬季 CO 浓度较高,一次 $PM_{2.5}$ 浓度高估有关,选取合适的一次气溶胶基准值是改进该方法,获取合理估算值的关键.

关键词:二次气溶胶; 京津冀城市群; 时空分布; 光化学反应; 臭氧(03)

中图分类号: X513 文献标识码: A 文章编号: 0250-3301(2023)05-2421-09 DOI: 10.13227/j. hjkx. 202205221

Spatio-temporal Distribution Characteristics of Secondary Aerosol in Beijing-Tianjin-Hebei Urban Agglomeration in Winter

YAO Qing^{1,2}, YANG Xu^{1,2}, TANG Ying-xiao^{1,2}, FAN Wen-yan^{1,2}, CAI Zi-ying^{1,2}, HAN Su-qin^{1,2}

(1. Tianjin Environmental Meteorology Center, Tianjin 300074, China; 2. CMA-NKU Cooperative Laboratory for Atmospheric Environment-Health Research, Tianjin 300074, China)

Abstract: The secondary component is an important factor causing PM_{2.5} pollution in the Beijing-Tianjin-Hebei urban agglomeration in winter. In this study, the CO tracer method was used to estimate the secondary PM_{2.5} concentration of the Beijing-Tianjin-Hebei urban agglomeration in the winter of 2017-2021. The temporal and spatial distribution characteristics were analyzed, and the influencing factors of regional secondary PM_{2.5} were discussed. The results showed that the decreasing trend of PM_{2.5} concentration in the Beijing-Tianjin-Hebei Region in the winter of 2017-2021 was obvious, and the cities with the largest decline were located in the central and southern part of Hebei Province, mainly contributed by primary PM_{2.5}. There was a good correlation between secondary PM_{2.5} and PM_{2.5} in all cities of the Beijing-Tianjin-Hebei urban agglomeration, and the proportion of secondary PM_{2.5} in Beijing and Tianjin was significantly higher than that in other cities. With the aggravation of pollution degree, the mass concentration of primary PM_{2.5} and secondary PM_{2.5} increased in varying degrees, and the proportion of secondary PM_{2.5} increased significantly. Compared with the direct measurement results, the estimated value obtained by this method was lower as a whole. The selection of appropriate primary aerosol reference value was the key to improving this method and estimating the secondary PM_{2.5} concentration.

Key words: secondary aerosol; Beijing-Tianjin-Hebei urban agglomeration; temporal and spatial distribution; photochemical reaction; ozone (03)

2013年以来,京津冀及周边地区"2+26"城市 空气质量逐年改善[1]. 减排是近年来京津冀区域 PM,5污染减轻的主要原因[2],同时气象扩散条件年 际波动可导致 PM,5的年际波动[3]. 受不利气象条 件影响,区域内冬季以 PM2,超标为特征的重污染天 气仍时有发生[4]. PM,5重污染日主要集中于秋冬 季,特别是重污染日冬季占比从2013年的60%升 至 2019 年的 80% [5]. 从 2017 年秋冬季开始,生态 环境部连续发布了4个冬季京津冀及周边地区大气 污染综合治理攻坚方案,通过长效措施、季节性错 峰以及重污染天气应对相结合等手段,促进秋冬季 PM,5下降和重污染天数减少,着力改善京津冀区域 秋冬季环境空气质量^[1]. 由 SO₄ - 、NO₅ 、NH₄ 和有 机碳组分(OC)等构成的二次 PM_{2.5}(sec-PM_{2.5})是 PM_{2.5}的重要组成部分,sec-PM_{2.5}的快速增长是导致 PM, 暴发式增长和重污染的重要因素[6].

直接测量 PM_{2.5}中的 SO₄²⁻、NO₅⁻和 OC 等二次

组分,是获取 sec-PM_{2.5}浓度的主要方法,大量基于采样-离线分析或在线分析的研究给出了不同站点或者城市尺度的 sec-PM_{2.5}资料.由于大气中前体物反应的非线性以及气象因素的多重影响,基于 PM_{2.5}化学组分的实时监测和分析方法难以全部测量 PM_{2.5}中的二次组分,并且受制于采样点位的代表性和数据获取成本等因素,难以对所有站点采样结果进行实验室分析或在线分析.基于空气污染物观测资料,利用污染物相互关系,可为估算 sec-PM_{2.5}浓度提供另一种思路. Chang 等^[7]基于对中国台北市长时间空气质量观测数据的分析,采用 CO 示踪,建立了一种对不同光化学活性下 PM₁₀中二次气溶胶估算的方法. 崔虎雄等^[8]、Jia 等^[9]和李红丽等^[10]利用该方法对国内上海、南京、北京和广州等城市

收稿日期: 2022-05-19; 修订日期: 2022-07-23

基金项目: 国家自然科学基金重点项目(42130513); 中国气象局创新发展专项(CXFZ2022P063)

作者简介:姚青(1980~),男,硕士,正高级工程师,主要研究方向为 气溶胶与大气光化学研究,E-mail:yao.qing@163.com 夏季二次气溶胶进行了估算,表明其可用于城市尺度 PM_{2.5}二次生成的估算. 以往研究多侧重单个或多个城市的 sec-PM_{2.5}浓度估算,且研究对象集中于夏季或夏半年,对于区域以及冬季 sec-PM_{2.5}研究较少. 考虑到京津冀城市群 PM_{2.5}污染主要发生在冬季^[11,12],且有研究表明该区域冬季大气光化学水平可能被低估^[13],本研究尝试利用冬季资料来估算 sec-PM_{2.5}浓度. 2013 年以来国家 PM_{2.5}观测站网的建立,为较大区域 sec-PM_{2.5}浓度估算提供了数据支撑. 本研究采用 CO 示踪法,估算 2017 ~ 2021 年冬季京津冀城市群 sec-PM_{2.5}浓度,并分析其时空分布特征,探讨区域二次 PM_{2.5}的影响因素,以期为京津冀区域 PM_{2.5}污染治理和空气质量改善提供科学依据和技术支撑.

1 材料与方法

京津冀区域位于 113°27′~119°50′E,36°05′~42°05′N,东临渤海,北枕燕山,西倚太行,地势西北高、东南低,由西北向东南呈半环状逐级下降.京津冀城市群包括北京市、天津市和河北省的保定、廊坊、唐山、石家庄、邯郸、秦皇岛、张家口、承德、沧州、邢台、衡水这 11 个地级市.本研究数据来源于中国环境监测总站(http://www.cnemc.cn/)全国空气质量实时发布平台,13 个城市的主要大气污染物浓度为该城市内各站点浓度的算术平均值. 臭氧(0₃)采用日最大 8 h 平均值,其它污染物采用日均值.各城市均具备数个到十数个不等的国控点,除北京和天津站点分布较为均匀外,河北省各城市站点多集中在城区,因而城市平均值主要反映城市环境,用作城市群空气质量评估是合理可行的.

大气中 O_3 浓度是表征大气氧化性的重要参数 $^{[14]}$, $PM_{2.5}$ 中的二次组分通常由 SO_2 、 NO_x 和 VOCs 等前体物经过氧化生成,因此光化学活性水平与二次气溶胶的形成密切相关. CO 浓度与 $PM_{2.5}$ 排放密切相关,可以很好地反映出一次排放的强弱和气象条件,尤其是边界层高度的变化 $^{[10]}$. 以 CO 作为一次排放源的示踪物,假设排放源结构基本保持稳定,则 $\rho(PM_{2.5})/\rho(CO)$ 越大, $sec-PM_{2.5}$ 占比就越大 $^{[7]}$. 根据 O_3 MDA8 \neq 光化学活性水平分为 3 类,即低水平 $(O_3$ MDA8 \leq 100 μ g·m $^{-3}$)、中等水平 $(O_3$ MDA8 > 160 μ g·m $^{-3}$),分别对应 O_3 空气质量等级的优、良和污染,考虑到冬季京津冀区域 O_3 超标日较少,本研究统一划为污染,不区分轻度污染、中度污染等情况. 根据光化学活性水平估算 $pri-PM_{2.5}$

和 sec-PM, 家 度的方法如下:

$$(PM_{2.5})_{p,M,t} = CO_{M,t} \times (PM_{2.5}/CO)_{p,L}$$
 (1)

$$(PM_{2.5})_{p.H.t} = CO_{H.t} \times (PM_{2.5}/CO)_{p.L}$$
 (2)

$$(PM_{2.5})_{s,M,t} = (PM_{2.5})_{obs,M,t} - (PM_{2.5})_{p,M,t}$$
 (3)

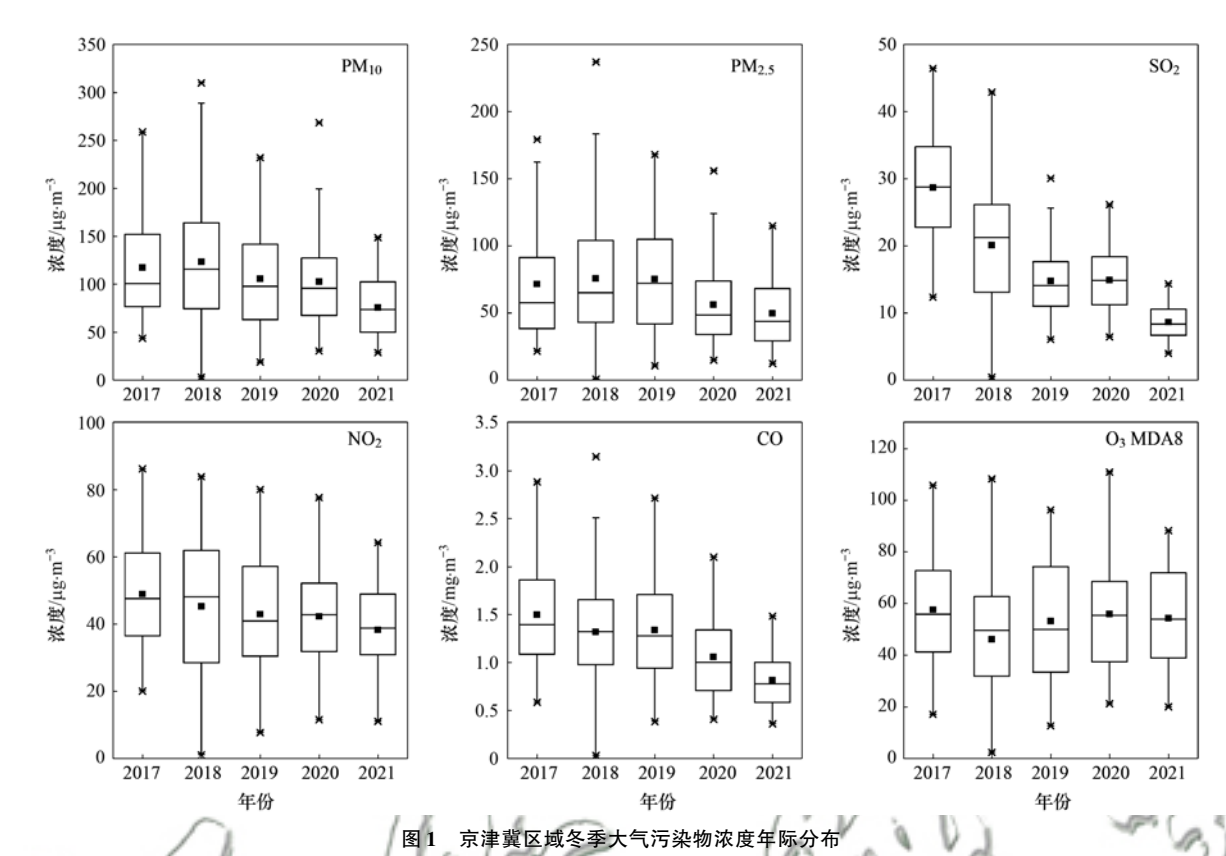
 $(PM_{2.5})_{s,H,t} = (PM_{2.5})_{obs,H,t} - (PM_{2.5})_{p,H,t}$ (4) 式中,p 为一次污染物,s 为二次污染物,obs 为观测得到的 $\rho(PM_{2.5})$,t 为观测日,L、M 和 H 表示光化学活性低水平、中等水平和高水平, $(PM_{2.5}/CO)_{p,L}$ 为低光化学活性水平下每日 $\rho(PM_{2.5})/\rho(CO)$ 的第25%分位,是计算轻、中、高光化学活性水平的一次气溶胶基准值 $^{[10]}$,该值采用各城市数据分别计算,因而并不存在区域整体的基准值.

与文献[7~10]采用的日最大 0, 小时浓度 (O, max)不同,考虑到高活性的光化学反应一般持续 较长时间,为避免因下沉气流和夹卷等导致的 O。浓 度短时突增引发的数据误判,本研究采用持续性的 O,浓度指标 O, MDA8 作为光化学活性水平的判 据,这种简化同时也降低了数据获取难度.由于京津 冀区域冬季 CO 浓度较高,采用以上方法计算一次 PM_{2.5}(pri-PM_{2.5})浓度,有一定几率出现 pri-PM_{2.5}浓 度 > $PM_{2.5}$ 浓度,即 ρ (pri- $PM_{2.5}$) < 0 的情况,采用污 染物浓度日均值替代小时浓度可以降低因 PM,,和 CO浓度波动造成的 sec-PM_{2.5}浓度负值出现几率. 对计算获得的负值,本研究将其强制设置为0,此时 $\rho(\text{pri-PM}_{2.5}) = \rho(\text{PM}_{2.5})$. 选取普通克里金插值方法 进行 PM, 5、pri-PM, 5和 sec-PM, 5浓度的空间表达, 该方法基于半变异函数理论,对有限区域范围变量 取值进行无偏最优估计[15],可以反映空间变量的相 关性和变异性,能够补充站点分布较少的问题.

2 结果与讨论

2.1 PM25时空分布特征

与 2013 年相比, 2019 年京津冀区域城市群 PM_{2.5}、PM₁₀、SO₂和 CO 同比下降 50%、41%、79% 和 49%^[1].图 1 为 2017 ~ 2021 年冬季京津冀区域 主要大气污染物质量浓度的统计, 整体而言冬季主要污染物浓度呈逐年下降趋势. PM₁₀和 PM_{2.5}浓度在 2018 年达到峰值, 其后逐年降低, 2021 年冬季较 2017 年同期下降 33. 4% 和 30. 5%. 任继勤等^[16]采用排放因子法对京津冀地区终端部门能源消费产生的 PM_{2.5}一次排放量进行了测算, 表明经济增长是造成 2018 年河北省 PM_{2.5}浓度增高的主要因素, 考虑到 2017 年"大气十条"收官, 2018 年 7 月正式提出"蓝天行动计划", 认为 2018 年 河北省和天津市 PM_{2.5}排放量增加很大程度上是由于处于政策空档期, 放松污染控制和治理导致. SO₂、NO₂和 CO 浓度



ig. 1 Interannual distribution of air pollutant concentration in Beijing-Tianjin-Hebei region in winter

逐年持续下降,其中 SO_2 浓度下降最为明显,2021年冬季仅为 2017年同期的 30.1%,2021年较 2017年 NO_2 和 NO_3 和

图 2 给出了京津冀区域 13 个城市 2017 ~ 2021 年冬季 $PM_{2.5}$ 浓度不同污染等级的分布和排序,除张家口外,京津冀区域其他城市 $\rho(PM_{2.5})$ 冬季平均值均超过国家空气质量二级标准(35 $\mu g \cdot m^{-3}$),河北省南部邯郸、邢台、石家庄、保定和衡水等 5 座城市 $\rho(PM_{2.5})$ 均超过 80 $\mu g \cdot m^{-3}$,其中邯郸最高,达到99 $\mu g \cdot m^{-3}$.按照 $PM_{2.5}$ 浓度年均值标准将各城市分为 3 类,分别表示"优"、"良"和"污染".与平均值分布趋势类似, $PM_{2.5}$ 浓度越高的城市"优"的比例越低,"污染"比例越高. 区域 $PM_{2.5}$ 浓度呈现南高北低特征,与 Wang 等 [19] 的分析结果一致. 造成京津冀区域不同城市 $PM_{2.5}$ 浓度差异的主要原因与一次污

染物排放强度、受地形影响的大气扩散条件,以及 二次生成影响因素等有关. 北京和天津等中心城市 第三产业和现代制造业较为发达,一次排放量得以 有效控制. 张家口、承德和秦皇岛城市处于首都生 态涵养区内,PM,,排放强度较低,且海拔较高,不利 于携带污染物的偏南气流控制. 邯郸等河北中南部 城市地处太行山传输通道,一方面经济结构以第二 产业为主,冶金和建材等高污染高耗能产业产能占 有较大比重,大气污染物排放水平较高,且在晋冀鲁 豫交界地区高度集中[20],另一方面复杂城市下垫面 热力差异促使局地环流和逆温层生成,太行山脉阻 挡造成静小风频率较高,形成气流停滞区,阻碍了空 气的垂直对流和水平交换,因而受地理因素影响的 不利气象条件也是造成污染物积聚和二次生成的重 要原因之一[6],广泛分布于我国青藏高原和黄土高 原等大地形东侧,东部地区对流层中下层则呈"上 暖下冷"类似"逆温盖",可能加剧了大气污染排放 的环境影响效应[21].

图 3 给出了京津冀区域 PM_{2.5}浓度空间分布的年际变化特征,区域整体浓度呈逐年下降趋势,下降幅度最大的城市为邢台(43.9%),其次为邯郸(40.6%)、石家庄(36.3%)和保定(35.6%),均集中在河北中南部,下降幅度最小的城市为承德(0.5%)、秦皇岛(4.1%)和张家口(6.5%),为京津冀区域最为"清洁"的城市.河北南部城市 PM_{2.5}浓度

的快速下降与其高强度的治理措施有关,京津冀区域持续多年开展秋冬季大气污染综合治理攻坚行动,特别是河北省采取降低煤炭燃烧、淘汰老旧车辆和推行清洁生产等措施^[1].2017年,京津冀及周边区域"2+26"城市积极推行"电代煤"和"气代煤"工作,该措施对"2+26"城市站点 PM_{2.5}浓度下降的贡献率为

3%~28%,其中对北京贡献率为 $15\%^{[20]}$,张茹婷等^[22]的模拟结果显示煤改电后天津 $PM_{2.5}$ 减排7.7%.气象扩散条件差异也会影响 $PM_{2.5}$ 浓度变化的空间分布,如2019 年冬季天津、张家口、北京和承德这4座城市 $PM_{2.5}$ 浓度同比增加 5.4%~27.5%,与这4个城市大气扩散条件变差有关^[23].

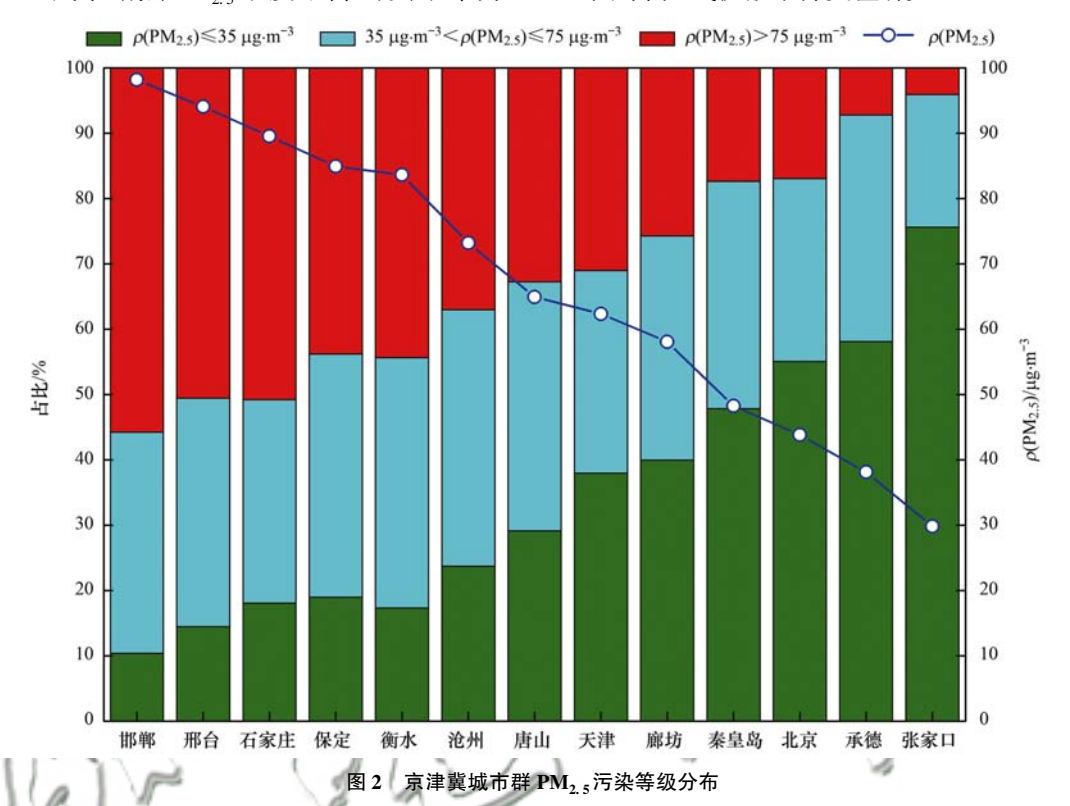


Fig. 2 $PM_{2.5}$ pollution grade distribution of Beijing-Tianjin-Hebei urban agglomeration

2.2 二次 PM_{2.5}时空分布特征

表 1 给出了各城市 PM_{2.5}与 CO 相互关系,如拟 合曲线的斜率和截距、两者的可决系数和各城市用 作一次 PM_{2.5} 判断基准的(PM_{2.5}/CO)_{p,L}. 区域内各 城市 (PM_{2.5}/CO)_{p,L} 存在显著差异,高(PM_{2.5}/ CO)_{D.L}意味着一次 PM_{2.5}与 CO 排放高度同步,城市 PM,5具有较强的一次排放特征. 河北中南部 7 城市 均超过 0.040,其中衡水最高,达到 0.054.北京、天 津和唐山等城市(PM_{2.5}/CO)_{p,L}较低,表明在低氧化 性时一次排放的 PM2.5浓度较低,这些城市受产业升 级和交通发达影响,PM25来源更加复杂.河北北部 山区城市低(PM_{2.5}/CO)_{p,L}与该区域系首都北京重 要的生态涵养区和生态屏障,城市一次 PM_{2.5}排放量 较低有关[24]. (PM_{2.5}/CO)_{p.L}的选取直接决定 pri-PM_{2.5}浓度估值,高(PM_{2.5}/CO)_{p,L}将导致 pri-PM_{2.5}浓 度高估和 pri-PM, 5浓度低估. 崔虎雄[8]、Jia 等[9]和 $Camilo^{[25]}$ 直接采用 $\rho(PM_{25})/\rho(CO)$ 作为一次气溶 胶基准值,考虑到京津冀冬季 CO 浓度较高,本研究 采用李红丽等[10]的方法,以低光化学活性水平下每 日 $\rho(PM_{2.5})/\rho(CO)$ 的第 25% 分位作为基准值,这些参数设置的差异会导致二次 $PM_{2.5}$ 估算的偏差.

图 4 给出了 2017 ~ 2021 年冬季京津冀城市群一次 $PM_{2.5}$ 和二次 $PM_{2.5}$ 的空间分布. 从中可知, $\rho(pri-PM_{2.5})$ 呈现南高北低分布,2017 年冬季高值 区集中在河北省南部地区,以邯郸、邢台和保定为中心,超过 80 $\mu g \cdot m^{-3}$,2018 年冬季高值区域扩大,延伸至石家庄等地,4 座城市 $\rho(pri-PM_{2.5})$ 均超过 80 $\mu g \cdot m^{-3}$,其后逐年减小,2021 年冬季京津冀区域 13 个城市 $\rho(pri-PM_{2.5})$ 均下降至 50 $\mu g \cdot m^{-3}$ 以下. 与 2017 年冬季相比,2021 年京津冀区域 13 个城市 $\rho(pri-PM_{2.5})$ 均值下降 24 $\mu g \cdot m^{-3}$,降幅为 44.0%,均略高于 $PM_{2.5}$ 浓度下降值及其降幅,表明该区域 $PM_{2.5}$ 浓度下降主要来自于一次 $PM_{2.5}$ 减排带来的 贡献.

除2020年冬季整体偏低外,其他年份 sec-PM_{2.5}浓度呈现南高北低分布,高值区集中在河北南部的邯郸和邢台等地,张家口和承德浓度最低,空间分布特征与一次 PM_{2.5}近似.与2017年冬季相比,2018

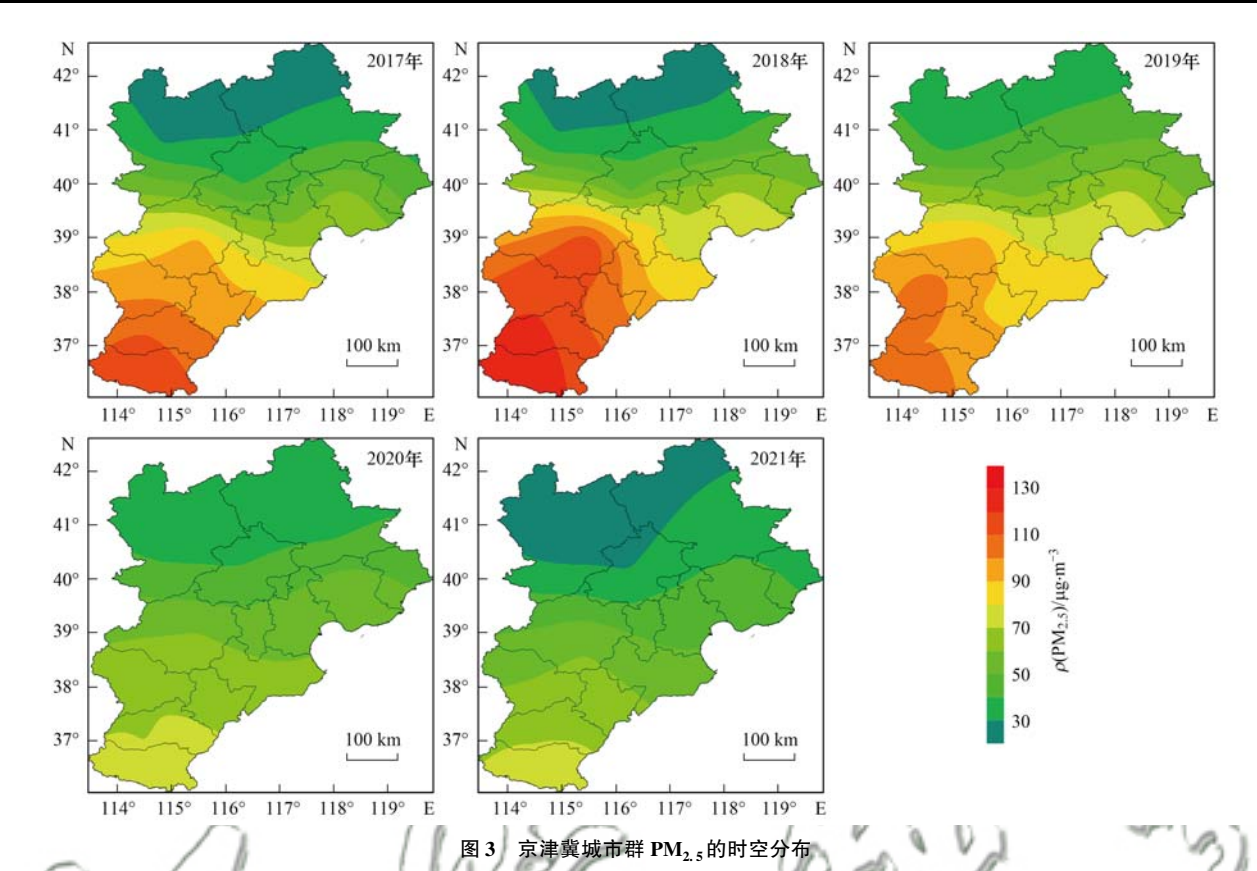


Fig. 3 Spatial and temporal distribution of PM_{2.5} in Beijing-Tianjin-Hebei urban agglomeration

表 1 京津冀区域冬季各城市 PM_{2.5}与 CO 的相互关系

Table 1 Relationship between PM_{2.5} and CO of cities

in Beijing-Tianjin-Hebei region in winter

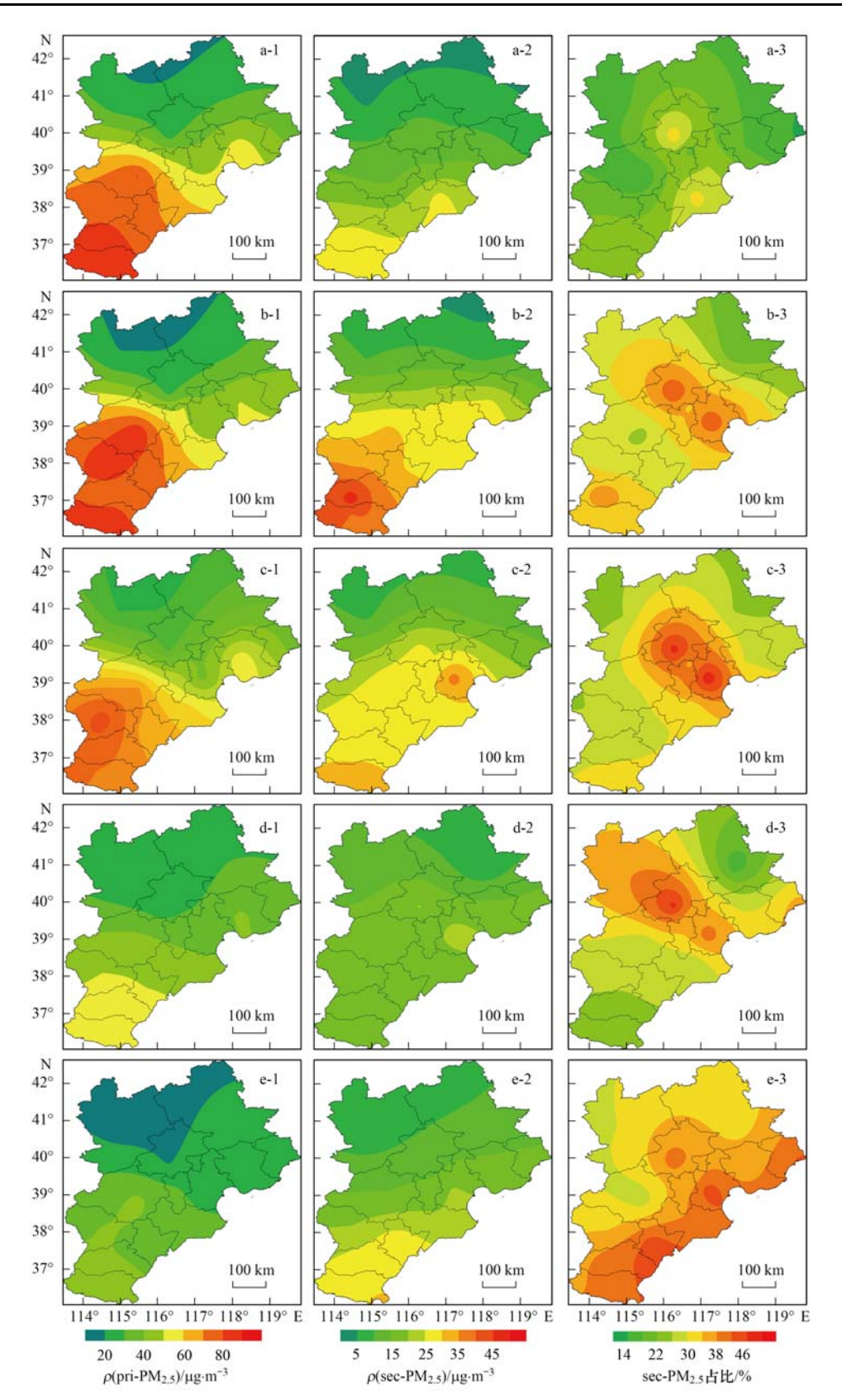
		0 3	0	4 1 2
项目	斜率	截距	可决系数	(PM _{2.5} /CO) _{p,L}
北京	78. 04	- 17. 54	0. 835	0. 033
天津	68. 85	- 18. 99	0.691	0. 033
石家庄	67.44	- 5. 30	0.823	0.048
张家口	53.70	-11.76	0.644	0.029
沧州	73.38	-11.87	0.778	0.045
衡水	81. 13	- 6. 94	0.737	0.054
保定	68. 14	- 6. 65	0.768	0.049
承德	34. 68	- 1. 76	0.660	0.026
廊坊	66. 13	- 8. 34	0.693	0.041
邯郸	62.47	1. 92	0.622	0.047
邢台	60.44	-1.08	0.667	0.043
唐山	37. 13	8. 40	0. 557	0.032
秦皇岛	32.96	2. 99	0. 634	0.027
河北省	63.48	-11.25	0. 793	
京津冀	65. 09	- 12. 92	0. 799	

年 sec-PM_{2.5} 浓度整体增加明显,平均增幅为64.7%,其后逐年下降,2021年仍高于2017年15.9%,这反映了二次 PM_{2.5}控制的复杂和治理难度.李红丽等^[10]的研究表明,在轻度光化学活性水平下,北京 sec-PM_{2.5}浓度远高于上海和广州,PM_{2.5}和 O₃协同增长趋势显著,这与排放源结构、强度以及气象条件有关.值得注意的是,二次占比[ρ (sec-PM_{2.5})/ ρ (PM_{2.5})]存在突出的空间异质性,2017~

2021 年北京和天津二次占比均超过 0. 4,表现出超大城市突出的二次污染特征,2021 年高占比区域继续扩大,衡水、邢台和秦皇岛二次占比也超过 0. 4. 图 4 可以较为明显地看出,京津冀区域沿海以及邻近山东和河南等城市二次占比增高,以上区域 PM_{2.5}来源复杂,本地生成与区域输送均对其有所贡献. 数值模式模拟显示天津区域输送贡献对 PM_{2.5}质量浓度的贡献大于 50% ^[26],而东北和西南方向的大气污染物对邯郸 PM_{2.5}中 SO₄^{2~}、NO₃[~]和 OM 等二次组分影响显著 ^[27],区域外的长距离输送对 PM_{2.5}的二次生成作用大于一次排放,可能是造成京津冀区域二次污染居高不下的重要原因之一,这需要结合模式开展更大区域尺度的进一步研究.

2.3 二次 PM_{2.5}占比分析

图 5 给出了 2017 ~ 2021 年京津冀城市群 13 个城市冬季 sec-PM_{2.5}与 PM_{2.5}浓度之间的关系,整体而言各城市二次 PM_{2.5}与 PM_{2.5}整体相关性较好(R^2 = 0.79). 2017 年除北京、天津略高外,各城市二次占比均小于 0.25,其后逐年增长,2018 ~ 2021 年基本上维持在 0.25 ~ 0.50 之间,整体而言二次占比逐年增大. "2 + 26"城市 PM_{2.5}及其化学组分手工监测分析结果表明^[6],2017 ~ 2019 年采暖季 sec-PM_{2.5}浓度占比依次为 76.0%、80.8% 和 84.4%,呈逐年上升趋势,本研究中 sec-PM_{2.5}浓度的年际变化趋势与

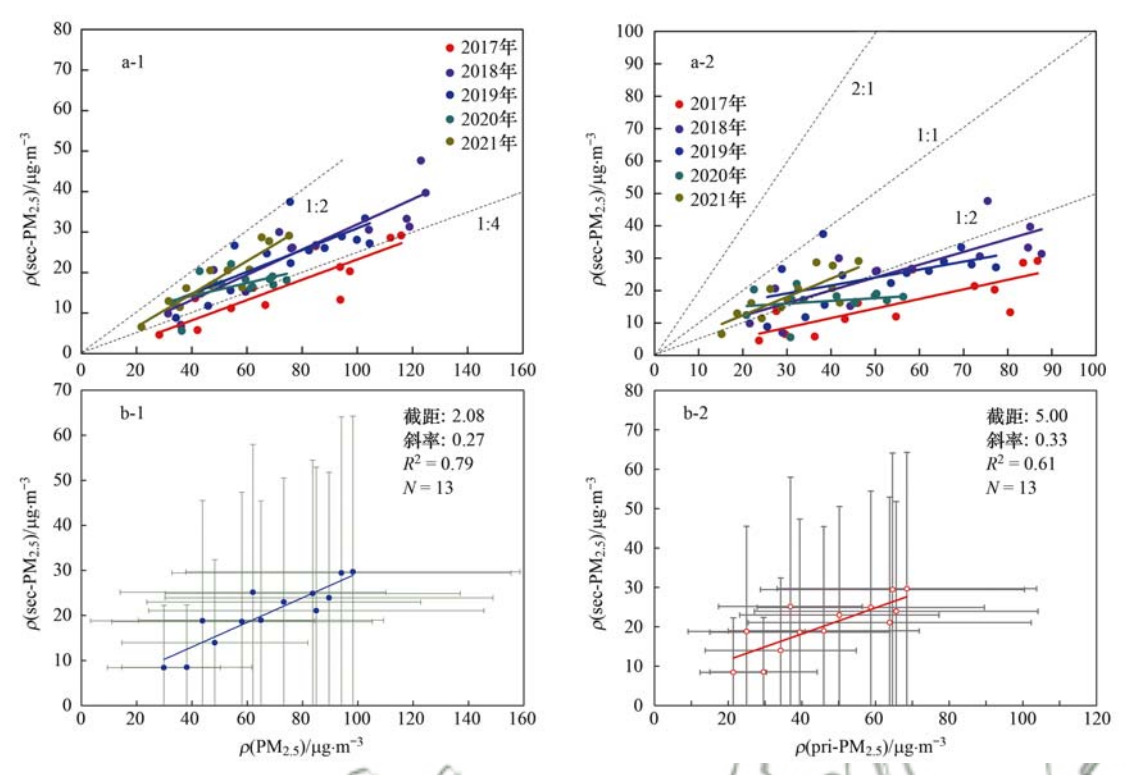


 $1\sim3$ 分别表示一次 $PM_{2.5}$ 、二次 $PM_{2.5}$ 和二次 $PM_{2.5}$ 占比; $a\sim e$ 分别表示 2017、2018、2018 、2020 和 2021 年 图 4 京津冀城市群一次 $PM_{2.5}$ 和二次 $PM_{2.5}$ 的空间分布

Fig. 4 Spatial distribution of pri-PM $_{2.5}$ and sec-PM $_{2.5}$ in Beijing-Tianjin-Hebei urban agglomeration

其一致. 2019 年北京和天津二次占比接近 0. 50, 明显高于其他城市, 侧面证明了区域内中心城市一次污染物的减排力度. 京津冀及周边地区颗粒物组分

网监测资料 $^{[28]}$ 显示,2017年11月至2018年1月"2+26"城市以有机物(OM)和二次无机离子(SNA)为代表的 sec- $PM_{2.5}$ 浓度总占比超过或接近80%,其



1~2 分别表示二次 $PM_{2.5}$ 与 $PM_{2.5}$ 的相互关系、二次 $PM_{2.5}$ 与一次 $PM_{2.5}$ 的相互关系; $a\sim b$ 分别表示分年度、 $2017\sim 2021$ 年观测期间

图 5 京津冀城市群二次 $PM_{2.5}$ 与 $PM_{2.5}$ 、一次 $PM_{2.5}$ 的相互关系

Relationship between $\sec\text{-PM}_{2.5}$, $\text{pri-PM}_{2.5}$ and $\text{PM}_{2.5}$ in Beijing-Tianjin-Hebei urban agglomeration

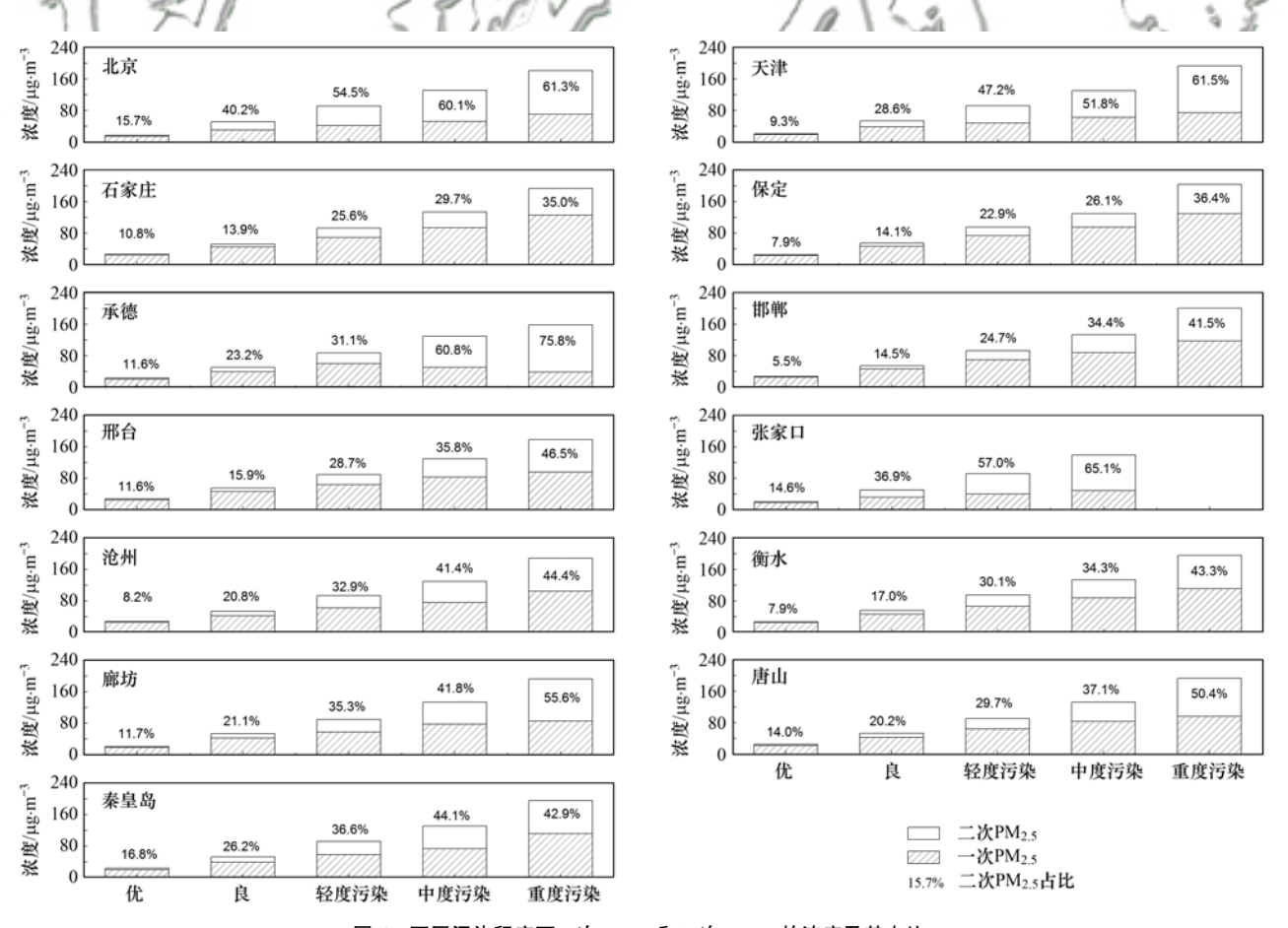


图 6 不同污染程度下一次 PM_{2.5}和二次 PM_{2.5}的浓度及其占比

Fig. 6 Concentration and proportion of pri-PM_{2.5} and sec-PM_{2.5} under different pollution levels

中北京(87.5%)最高,天津(81.7%)、唐山(80.0%)和石家庄(79.9%)等城市接近.

根据文献[29],将PM25浓度日均值分为5类, 分别对应优、良、轻度污染、中度污染和重度污染, 图 6 给出不同污染程度下 pri-PM, 5和 sec-PM, 5浓度 及其占比. 空气质量为优时, 所有城市二次占比均在 20%以下,京津冀北部城市比值较高,河北南部各城 市比值较低. 随着污染程度加剧, pri-PM25和 sec-PM,5浓度均有不同程度的增加,二次占比呈显著增 大趋势. 冬季京津冀区域乃至我国中东部地区常有 大范围静稳天气发生,SO₂、NO_x和 VOCs 等易发生 二次反应生成二次 PM, 5^[30], 因而重污染天气下各 城市 sec-PM, 5浓度均不同程度地增加,且二次占比 升高,表明 sec-PM,,是推高重污染程度的主要因 素. 污染程度加重,与液相反应颗粒物中的液态含水 量增加、硫氧转化率和氮氧转化率升高有关[31],表 明液相化学反应对二次无机盐的生成具有重要贡 献[27].

与直接测量法相比,本研究通过 CO 示踪获取的二次 PM_{2.5}浓度相对偏低. 这与本研究观测时段选取为冬季有关,京津冀城市群冬季采暖大量 CO 排放,较高的 CO 会高估 pri-PM_{2.5}浓度,从而低估 sec-PM_{2.5}浓度,这体现了模型方法的局限性,下一步将继续改进模型,特别是选取更为合适的一次气溶胶基准值,使得冬季高浓度 CO下 sec-PM_{2.5}浓度的估算更加合理.

3 结论

- (1)2017~2021年冬季京津冀区域 $PM_{2.5}$ 浓度下降趋势明显,与 2017年冬季相比,2021年同期下降 22 μ g·m⁻³,降幅为 30.5%.京津冀区域 $PM_{2.5}$ 浓度下降幅度最大的城市为邢台(43.9%)、邯郸(40.6%)、石家庄(36.3%)和保定(35.6%),均位于河北中南部,下降幅度最小的城市为承德(0.5%)、秦皇岛(4.1%)和张家口(6.5%),位于河北北部山区.
- (2)采用 CO 示踪法估算获得京津冀区域各城市 pri-PM_{2.5}和 sec-PM_{2.5}浓度,邯郸最高,张家口最低,不同城市 pri-PM_{2.5}和 sec-PM_{2.5}浓度排序的差异反映不同城市排放和二次生成的贡献,pri-PM_{2.5}浓度呈现南高北低分布,sec-PM_{2.5}浓度高值区集中在河北南部的邯郸和邢台等地,与排放强度、气象条件和地形等因素有关.
- (3)京津冀城市群各城市 sec-PM_{2.5}与 PM_{2.5}浓 度整体相关性较好,北京和天津二次占比明显高于 其他城市,表明区域内中心城市在一次污染物的减

排力度. 随着污染程度加剧, pri-PM_{2.5}和 sec-PM_{2.5}浓度均有不同程度地增加, 二次占比呈显著增大趋势, 区域差别与各城市产业结构和减排政策有关. 重污染天气下各城市二次占比升高, 表明二次 PM_{2.5}是推高重污染程度的主要因素.

参考文献:

- [1] 李慧,王淑兰,张文杰,等. 京津冀及周边地区"2+26"城市空气质量特征及其影响因素[J]. 环境科学研究, 2021, **34** (1): 172-184.
 - Li H, Wang S L, Zhang W J, et al. Characteristics and influencing factors of urban air quality in Beijing-Tianjin-Hebei and its surrounding areas ('2 + 26' cities) [J]. Research of Environmental Sciences, 2021, 34(1): 172-184.
- [2] 张小曳,徐祥德,丁一汇,等. 2013-2017 年气象条件变化对中国重点地区 PM_{2.5} 质量浓度下降的影响[J]. 中国科学:地球科学,2020,**50**(4):483-500.
 Zhang X Y, Xu X D, Ding Y H, *et al.* The impact of

meteorological changes from 2013 to 2017 on PM_{2.5} mass reduction in key regions in China [J]. Science China Earth Sciences, 2019, **62**(12): 1885-1902.

[3] 蔡子颖, 郝闰, 韩素芹, 等. 2000~2020年天津 PM_{2.5} 质量 浓度演变及驱动因子分析[J]. 环境科学, 2022, **43**(3): 1129-1139.

Cai Z Y, Hao J, Han S Q, et al. Analysis of change and driving factors of PM_{2.5} mass concentration in Tianjin from 2000 to 2020 [J]. Environmental Science, 2022, **43**(3): 1129-1139.

- [4] 姚青, 蔡子颖, 刘敬乐, 等. 气象条件对2009-2018 年天津地区 PM_{2.5}质量浓度的影响[J]. 环境科学学报, 2020, **40**(1): 65-75.
 - Yao Q, Cai Z Y, Liu J L, et al. Effects of meteorological conditions on PM_{2.5} concentration in Tianjin from 2009 to 2018 [J]. Acta Scientiae Circumstantiae, 2020, **40**(1): 65-75.
- [5] 孙峰,姚欢,刘保献,等. 2013-2019 年京津冀及周边地区 PM_{2.5}重污染特征[J]. 中国环境监测, 2021, **37**(4): 46-53.
 - Sun F, Yao H, Liu B X, et al. Characteristics of PM_{2.5} heavy pollution in Beijing-Tianjin-Hebei and surrounding areas from 2013 to 2019 [J]. Environmental Monitoring in China, 2021, 37 (4): 46-53.
- [6] 刀谞,吉东生,张显,等. 京津冀及周边地区采暖季 PM_{2.5}化 学组分变化特征[J]. 环境科学研究, 2021, **34**(1): 1-10. Dao X, Ji D S, Zhang X, *et al.* Characteristics of chemical composition of PM_{2.5} in Beijing-Tianjin-Hebei and its surrounding areas during the heating period[J]. Research of Environmental Sciences, 2021, **34**(1): 1-10.
- [7] Chang S C, Lee C T. Secondary aerosol formation through photochemical reactions estimated by using air quality monitoring data in Taipei City from 1994 to 2003 [J]. Atmospheric Environment, 2007, 41(19): 4002-4017.
- [8] 崔虎雄,吴迓名,段玉森,等. 上海市浦东城区二次气溶胶生成的估算[J]. 环境科学,2013,34(5):2003-2009.

 Cui H X, Wu Y M, Duan Y S, et al. Secondary aerosol formation through photochemical reactions estimated by using air quality monitoring data in the downtown of Pudong, Shanghai [J]. Environmental Science, 2013,34(5):2003-2009.
- [9] Jia M W, Zhao T L, Cheng X H, et al. Inverse relations of PM_{2.5} and O₃ in air compound pollution between cold and hot seasons over an urban area of east China [J]. Atmosphere, 2017, 8(3), doi: 10.3390/atmos8030059.

- [10] 李红丽,王杨君,黄凌,等.中国典型城市臭氧与二次气溶 胶的协同增长作用分析[J].环境科学学报,2020,40(12):4368-4379.
 - Li H L, Wang Y J, Huang L, *et al*. Analysis of synergistic growth effects between ozone and secondary aerosol in typical cities in China [J]. Acta Scientiae Circumstantiae, 2020, **40** (12): 4368-4379.
- [11] Wang T Y, Huang X, Wang Z L, et al. Secondary aerosol formation and its linkage with synoptic conditions during winter haze pollution over eastern China [J]. Science of the Total Environment, 2020, 730, doi: 10.1016/j. scitotenv. 2020. 138888.
- [12] Shang D J, Peng J F, Guo S, et al. Secondary aerosol formation in winter haze over the Beijing-Tianjin-Hebei region, China[J]. Frontiers of Environmental Science & Engineering, 2021, 15 (2), doi: 10.1007/s11783-020-1326-x.
- [13] Liu L, Wang X F, Chen J M, et al. Understanding unusually high levelsof peroxyacetyl nitrate (PAN) in winter in Urban Jinan, China[J]. Journal of Environmental Sciences, 2018, 71: 249-260.
- [14] Wang Z S, Li Y T, Chen T, et al. Ground-level ozone in urban Beijing over a 1-year period: Temporal variations and relationship to atmospheric oxidation [J]. Atmospheric Research, 2015, 164-165: 110-117.
- [15] 杨兴川,赵文吉,熊秋林,等. 2016 年京津冀地区 PM_{2.5}时 空分布特征及其与气象因素的关系 [J]. 生态环境学报, 2017, **26**(10): 1747-1754.
 - Yang X C, Zhao W J, Xiong Q L, et al. Spatio-temporal distribution of PM_{2.5} in Beijing-Tianjin-Hebei (BTH) area in 2016 and its relationship with meteorological factors [J]. Ecology and Environmental Sciences, 2017, **26**(10): 1747-1754.
- [16] 任继勤,王莹. 京津冀 PM_{2.5}排放和驱动因素差异研究[J]. 环境科学与管理, 2021, **46**(10): 34-39. Ren J Q, Wang Y. Analysis on differences in PM_{2.5} emissions and driving factors in Beijing-Tianjin-Hebei region [J]. Environmental Science and Management, 2021, **46**(10): 34-
- [17] 耿冠楠, 肖清扬, 郑逸璇, 等. 实施《大气污染防治行动计划》对中国东部地区 PM_{2.5} 化学成分的影响[J]. 中国科学: 地球科学, 2020, **50**(4): 469-482.

 Geng G N, Xiao Q Y, Zheng Y X, et al. Impact of China's air pollution prevention and control action plan on PM_{2.5} chemical composition over eastern China [J]. Science China Earth Sciences, 2019, **62**(12): 1872-1884.
- [18] 余益军, 孟晓艳, 王振, 等. 京津冀地区城市臭氧污染趋势及原因探讨[J]. 环境科学, 2020, **41**(1): 106-114. Yu Y J, Meng X Y, Wang Z, *et al.* Driving factors of the significant increase in surface ozone in the Beijing-Tianjin-Hebei region, China, during 2013-2018[J]. Environmental Science, 2020, **41**(1): 106-114.
- [19] Wang Z B, Li J X, Liang L W. Spatio-temporal evolution of ozone pollution and its influencing factors in the Beijing-Tianjin-Hebei urban agglomeration [J]. Environmental Pollution, 2020, 256, doi: 10.1016/j.envpol.2019.113419.
- [20] 王金南,王慧丽,雷宇. 京津冀及周边地区秋冬季大气污染防治重点及建议[J]. 环境保护,2017,45(21):11-16. Wang J N, Wang H L, Lei Y. Key problems and prospects on air pollution control in fall and winter season in the great Beijing-Tianjin-Hebei Region[J]. Environmental Protection, 2017,45 (21):11-16.
- [21] 徐祥德,王寅钧,赵天良,等.中国大地形东侧霾空间分布

- "避风港"效应及其"气候调节"影响下的年代际变异[J]. 科学通报, 2015, **60**(12): 1132-1143.
- Xu X D, Wang Y J, Zhao T L, et al. "Harbor" effect of large topography on haze distribution in eastern China and its climate modulation on decadal variations in haze [J]. Chinese Science Bulletin, 2015, 60(12); 1132-1143.
- [22] 张茹婷, 陈传敏, 吴华成, 等. 京津冀煤改电对 PM_{2.5}浓度的 影响[J]. 中国环境科学, 2022, **42**(3): 1022-1031.

 Zhang R T, Chen C M, Wu H C, et al. Impact of the coal-to-electricity policy on PM_{2.5} concentration in Beijing-Tianjin-Hebei region[J]. China Environmental Science, 2022, **42**(3): 1022-1031.
- [23] 姚青, 唐颖潇, 蔡子颖, 等. 京津冀区域典型城市 PM_{2.5} 污染特征及其成因研究[J]. 环境科学学报, 2022, **42**(7): 43-52. Yao Q, Tang Y X, Cai Z Y, *et al.* Evaluation of PM_{2.5} pollution characteristics and formation mechanisms of typical cities in Beijing-Tianjin-Hebei region[J]. Acta Scientiae Circumstantiae, 2022, **42**(7): 43-52.
- [24] 冯亚平, 王帅, 徐婧怡, 等. 承德市细颗粒物水溶性无机离子特征及解析[J]. 环境化学, 2020, **39**(12): 3353-3361. Feng Y P, Wang S, Xu J Y, *et al.* Characteristics and source apportionment of water-soluble inorganic ions in atmospheric fine particles in Chengde [J]. Environmental Chemistry, 2020, **39** (12): 3353-3361.
- [25] Menares C, Gallardo L, Kanakidou M, et al. Increasing trends (2001-2018) in photochemical activity and secondary aerosols in Santiago, Chile [J]. Tellus B: Chemical and Physical Meteorology, 2020, 72(1): 1-18.
- [26] 郝囝、蔡子颖、韩素芹、等. 基于模式过程分析技术天津地区 PM_{2.5}污染气象成因分析[J]. 环境科学, 2022, **43**(5): 2373-2382.

 Hao J, Cai Z Y, Han S Q, *et al.* Research on causes of severely polluted Weather in Tianjin based on process analytical technology[J]. Environmental Science, 2022, **43**(5): 2373-
- [27] 任秀龙, 胡伟, 吴春苗, 等. 华北南部重污染城市周边区域 二次气溶胶的化学特征及来源解析[J]. 环境科学, 2022, 43(3): 1159-1169.
 - Ren X L, Hu W, Wu C M, et al. Chemical characteristics and sources of atmospheric aerosols in the surrounding district of a heavily polluted city in the southern part of North China [J]. Environmental Science, 2022, 43(3): 1159-1169.
- [28] 程麟钧, 唐桂刚, 刘宇, 等. 京津冀及周边地区大气污染综合立体观测网支撑作用[J]. 环境科学研究, 2021, **34**(1): 11-19.
 - Cheng L J, Tang G G, Liu Y, et al. Supporting role of the comprehensive observation network of air pollution in Beijing-Tianjin-Hebei and its surrounding areas [J]. Research of Environmental Sciences, 2021, 34(1): 11-19.
- [29] HJ 633-2012, 环境空气质量指数(AQI)技术规定(试行) [S].
- [30] Zhong J T, Zhang X Y, Wang Y Q. Relatively weak meteorological feedback effect on PM_{2.5} mass change in winter 2017/18 in the Beijing area: observational evidence and machine-learning estimations [J]. Science of the Total Environment, 2019, 664: 140-147.
- [31] Yao Q, Liu Z R, Han S Q, et al. Seasonal variation and secondary formation of size-segregated aerosol water-soluble inorganic ions in a coast megacity of North China Plain [J]. Environmental Science and Pollution Research, 2020, 27 (21): 26750-26762.

HUANJING KEXUE

Environmental Science (monthly)

Vol. 44 No. 5 May 15, 2023

CONTENTS

Pollution Characteristics and Factors Influencing the Reduction in Ambient PM _{2.5} in Beijing from 2018 to 2020	······· YAO Qing, YANG Xu, TANG Ying-xiao, et al. (2421)
On-line Measurement of Trace Elements in PM _{2.5} in Winter in Urban Taiyuan, China; Levels and Source Apportionment Characteristics and Source Apportionment of Black Carbon Over the Eastern Tibetan Plateau	······ CUI Yang, GUO Li-li, LI Hong-yan, et al. (2441)
Characteristics and Source Apportionment of Diack Cambon Over the Eastern Indian Flatcau Characteristics and Source Apportionment of Volatile Organic Compounds in Zhanjiang in Summer	PANC Viscodia CAO Ro CHEN Lai-man, et al. (2461)
Ozone Pollution Characteristics and Sensitivity During the Ozone Pollution Days in Summer 2021 of Xinxiang City	
Influence of Typhoon Nangka Process on Ozone Pollution in Hainan Island	FII Chuan-bo DAN Li TONC lin-be et al. (2481)
Health Impacts of Air Pollution in Tianjin	HI A Kun I II O Thong-wai II A Rin et al. (2401)
Analysis of Change and Driving Factors of River Environmental Quality in China from 2002 to 2020	VANC Chuan vi VIE Van CAO Chang et al. (2502)
Spatiotemporal Pattern and Driving Force Analysis of Ecological Environmental Quality in Typical Ecological Areas of the Yellow River	r Basin from 1990 to 2020
Response of Water Quality in Small Reservoirs to Landscape Composition, Landscape Configuration, and Reservoir Characteristics in t	the Upper Reaches of the Yangtze River During Dry Season ZHONG Yong-lin, RAN Jiao-jiao, WEN Wen, et al. (2528)
Pollution Characteristics and Risk Assessment of Typical Endocrine Disrupting Chemicals in Drains Flowing into the Yellow River of N	lingxia
Occurrence Characteristics of Microplastics and Metal Elements in the Surface Water of Huangpu River and Their Associations with Mo	etal Resistance Cenes
Spatial Distribution Characteristics and Source Analysis of Heavy Metals in Urban River Surface Sediments from the Lanzhou Reach of	the Vellow River
Distribution and Release Potential of Soil Phosphorus Fractions in Water-level Fluctuation Zone of the Tributary Bay, Three Gorges Re	
Distribution and Pollution Assessment of Nutrients in the Surface Sediments of Lake in Huoqiu County	
Analysis of Influencing Factors of Chlorophyll-a in Lake Taihu Based on Bayesian Network	······ LIU lie. HE Yun-chuan. DENG lian-ming. et al. (2592)
Hydrochemical Characteristics and Control Factors of Groundwater in Shunping County, Hebei Province	LIII Yuan-qing ZHOU Le LÜ Lin et al. (2601)
Distribution, Tansformation, and Fate of Per-and Polyfluoroalkyl Substances in Drinking Water Treatment	
Removal of Cr(VI) via a Nickel Ferrite@Activated Carbon Composite Under Batch Experiments: Study of Characterization, Performan	nce and Mechanism
Temoval of G1 (1) has a reconstructed earlier composite crucia bater Experiments; study of Guaracterization, Temorina	THANG Hua II Rong-hua CHEN lin-viong et al. (2622)
Degradation of SMX with Peracetic Acid Activated by Nano Core-shell Co@NC Catalyst	FING Ting-lu ZHANG Long-long CHEN lia-bin et al. (2022)
Adsorption Characteristics of Arsenic and Cadmium by FeMnNi-LDH Composite Modified by Fulvic Acid and Its Mechanisms	
Adsorption Unaracteristics of Alsenic and Cadmium by Feminy-Libri Composite Mounted by Furvic Acid and its mechanisms Adsorption Mechanism for Phosphate in Aqueous Solutions of Calcium/Aluminum-rich Sludge Biochar Composite	OUVANC 7by CAO I., WANC Ping sign at al. (2661)
Adsorption Mechanism for Phosphate in Aqueous Solutions of Carcillor Adminism-rich Studge Biochar Composite Studge Biochar Modified by B-doped and Its Adsorption Behavior and Mechanism of 1,2-DCA in Water	
Response of Forest Ecosystems to Decreasing Atmospheric Nitrogen Deposition	VIE Donni VANC Dong ving DUAN Loi (2011)
Impacts of Climate Change and Human Activities on Vegetation Restoration in Typical Grasslands of China	ZHANG I: VIE V: ZHOU D (2001)
Spatial-temporal Variation in Net Primary Productivity in Terrestrial Vegetation Ecosystems and Its Driving Forces in Southwest China	XU Yong, HUANG Hai-yan, DAI Qiang-yu, et al. (2704)
Effects of Different Carbon Inputs on Soil Stoichiometry in Tianshan Mountains	MA Xin-yu, GONG Lu, ZHU Hai-qiang, et al. (2/15)
Effects of Nitrogen and Phosphorus Addition on Soil Nutrient Content and Stoichiometry in Desert Grassland	LIU Shu-xuan, AN Hui, ZHANG Xin-wen, et al. (2724)
Effect of Spartina alterniflora Invasion on Soil C: N: P Stoichiometry in Coastal Wetland of Hangzhou Bay	
Effects of 24 Years Different Straw Return on Soil Carbon, Nitrogen, Phosphorus, and Extracellular Enzymatic Stoichiometry in Dryland Carbon, Nitrogen, Phosphorus, and Extracellular Enzymatic Stoichiometry in Dryland Carbon, Nitrogen, Phosphorus, and Extracellular Enzymatic Stoichiometry in Dryland Carbon, Nitrogen, Phosphorus, and Extracellular Enzymatic Stoichiometry in Dryland Carbon, Nitrogen, Phosphorus, and Extracellular Enzymatic Stoichiometry in Dryland Carbon, Nitrogen, Phosphorus, and Extracellular Enzymatic Stoichiometry in Dryland Carbon, Nitrogen, Phosphorus, and Extracellular Enzymatic Stoichiometry in Dryland Carbon, Nitrogen, Phosphorus, and Extracellular Enzymatic Stoichiometry in Dryland Carbon, Nitrogen, Phosphorus, and Extracellular Enzymatic Stoichiometry in Dryland Carbon, Nitrogen, Phosphorus, Phosph	nd of the Loess Plateau, China
2 Teach 2 Teach and the Control of Control o	
Carbon Sequestration Characteristics Under Natural Vegetation Restoration in Ziwuling Area of the Loess Plateau	
Effects of Short-term Nitrogen Addition on Soil Organic Carbon Components in Robinia pseudoacacia L. Plantation	
Response of Soil Organic Carbon Accumulation in Paddy Fields in Fujian Province to Future Temperature Increases	CHE Yan, QIU Long-xia, WU Ling-yun, et al. (27/5)
Species, Habitat Characteristics, and Screening Suggestions of Cadmium Hyperaccumulators in China	
Research Progress on Spatial Differentiation and Influencing Factors of Soil Heavy Metals Based on Geographical Detector	
Geochemical Background and Baseline Value of Soil Chemical Elements in Hebei Province	
Distribution Characteristics, Ecological Risks, and Source Identification of Heavy Metals in Cultivated Land Under Non-grain Production	
Source Analysis and Ecological Risk Assessment of Heavy Metals in the Arable Soil at the Geological High Background, Based on the	Township Scale · · · · · · · · · · · · · · · · · · ·
Solid-solution Partitioning Coefficients and Environmental Risk of Cd and Pb in Soil in Chang-Zhu-Tan Area	
Ecological Risk and Migration Patterns of Heavy Metals in Soil and Crops in the Lead-Zinc Mining Area in Guizhou, China	MA Hong-hong, ZHANG Li, GUO Fei, et al. (2856)
Mercury Pollution in Dryland Soil and Evaluation of Maize Safety Production in Guizhou Province	MA Li-jun, ZHOU Lang, SONG Bo, et al. (2868)
Pollution Characteristics and Risk Assessment of PAHs in the Soil of Wild Forsythia Suspensa in Shanxi	
Effects of P on the Uptake and Transport of Cd and As in Wheat Seedlings	······ WANG Yun, ZHAO Peng, LI Guang-xin, et al. (2889)
Effects of Silicon Application on Arsenic Sequestration in Iron Plaque and Arsenic Translocation in Rice	LI Lin-feng, WEN Wei-fa, XU Zi-sheng, et al. (2899)
Characteristics of Soil Microbial Community in Different Habitats in the Process of Ecological Restoration of Haifeng Wetland in Guang	gdong
Taxonomic and Functional Diversity of Soil Microbial Communities in Subalpine Meadow with Different Degradation Degrees in Mount	Wutai ·····
Effects of the Transformation from Natural Alpine Grassland to Mixed Artificial Grassland on the Characteristics of Soil Microbial Communication of the Characteristics	
Effects of Chinese Milk Vetch Returning Incorporated with Chemical Fertilizer Reduction on the Composition and Function of Soil Bact	
ZI	HANC light IIII Chungang THENC Chungang et al. (2036)
Effects of Long-term Sod Cultivation on Chinese Hickory Plantation Soil Fungal Community and Enzyme Activities	
Effects of Microplastic High-density Polyethylene on Cotton Growth, Occurrence of Fusarium wilt, and Rhizosphere Soil Bacterial Con	
Effects of Microplastic High-density Polyethylene on Cotton Growth, Occurrence of Fusarium will, and Knizosphere Soil Bacterial Con	THANC Hoo SUN Ito VANC United at al. (2055)
Nitrogen Metabolism and Flora Characteristics of Bacteria Algae Complex System	ZHANG Hao, SUN Jie, TANG Hul-ying, et al. (2905)
Analysis of Carbon Emissions and Influencing Factors in China Based on City Scale	
How Do Carbon Trading Policies Affect Industrial Carbon Productivity: Quasi-natural Experiments from Chinese Provincial Data	
Influence of the Classification of Municipal Solid Wastes on the Reduction of Greenhouse Gas Emissions: A Case Study of Qingdao Cit	IY, UNINA
Quantitative Analysis of Spatio-temporal Evolution Characteristics of Seasonal Average Maximum Temperature and Its Influence by Atm	•